



TECHNISCHE
UNIVERSITÄT
WIEN
Vienna | Austria

Untersuchungen zur Synchronisation von Tachymetern

Tomas Thalmann, Prof. Hans Neuner

Forschungsgruppe Ingenieurgeodäsie, TU Wien

13. Geomessdiskurs | DVW Seminar | Jena | 29.06.2023

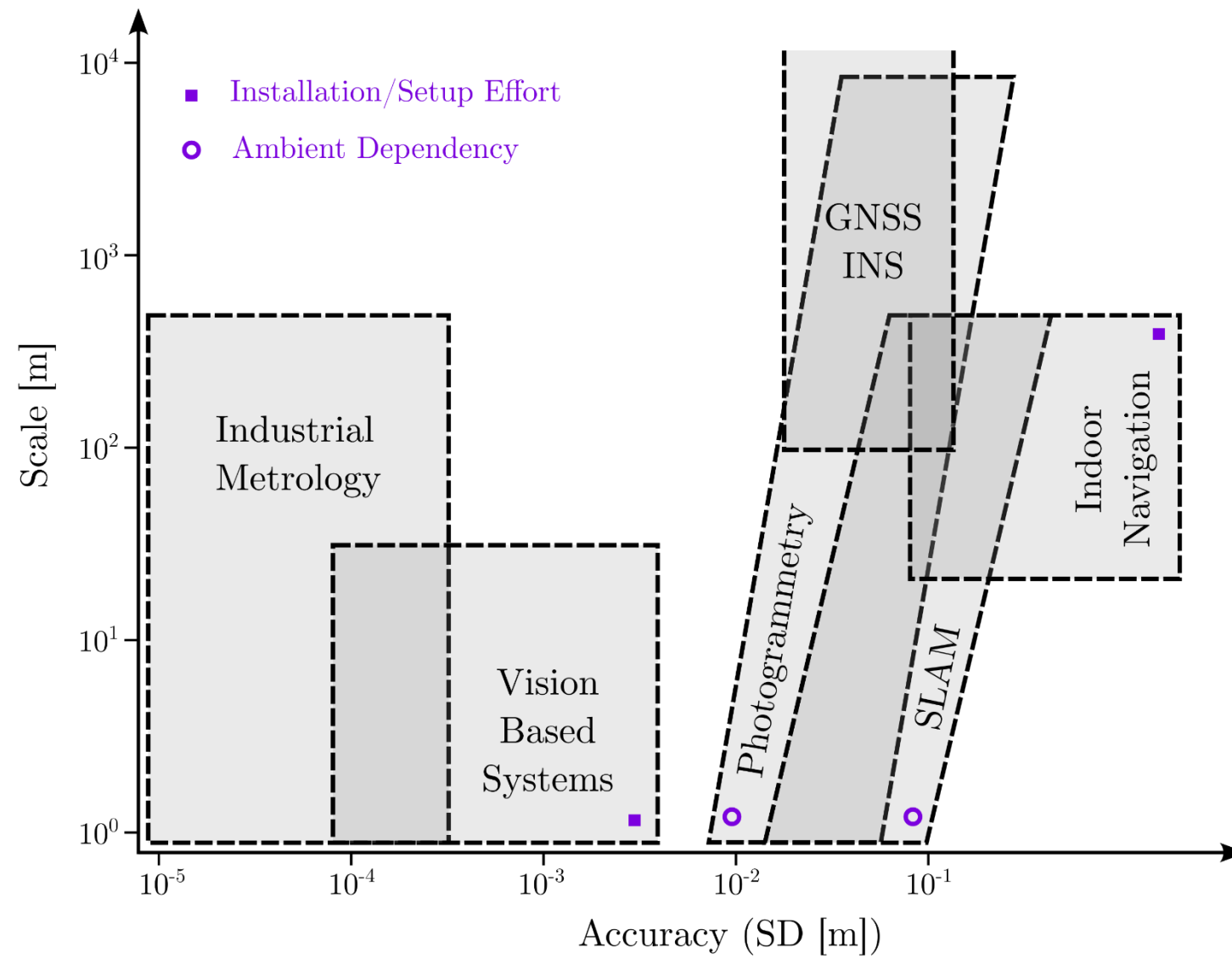
Motivation

6DoF Posenschätzung

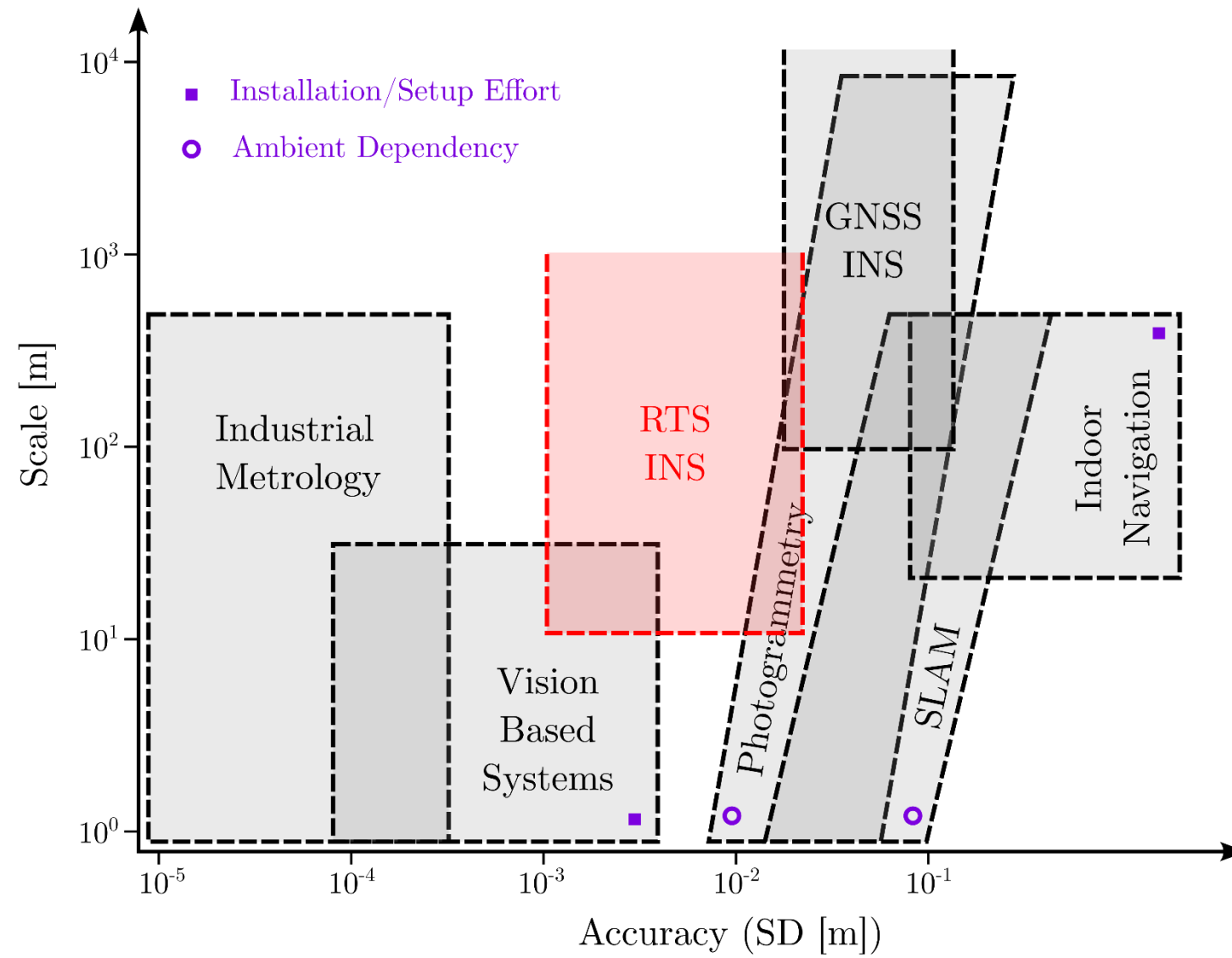
- Robotic Total Station (RTS) – IMU Fusion
 - 6 DoF Positionierung & Navigation
 - Mobile Mapping Systeme
 - Referenz & Regelung
 - Probing Device/ Pole Tilt Kompensation
- GNSS-denied Umgebungen (Innenraum, Untertage)



6DoF Forschungs- und Anwendungslandschaft



6DoF Forschungs- und Anwendungslandschaft



RTS Synchronisation Anforderungen

- Anforderungen an die Synchronisation
 - Fehler in der Position unter 1 mm



1 m/s – 1 ms



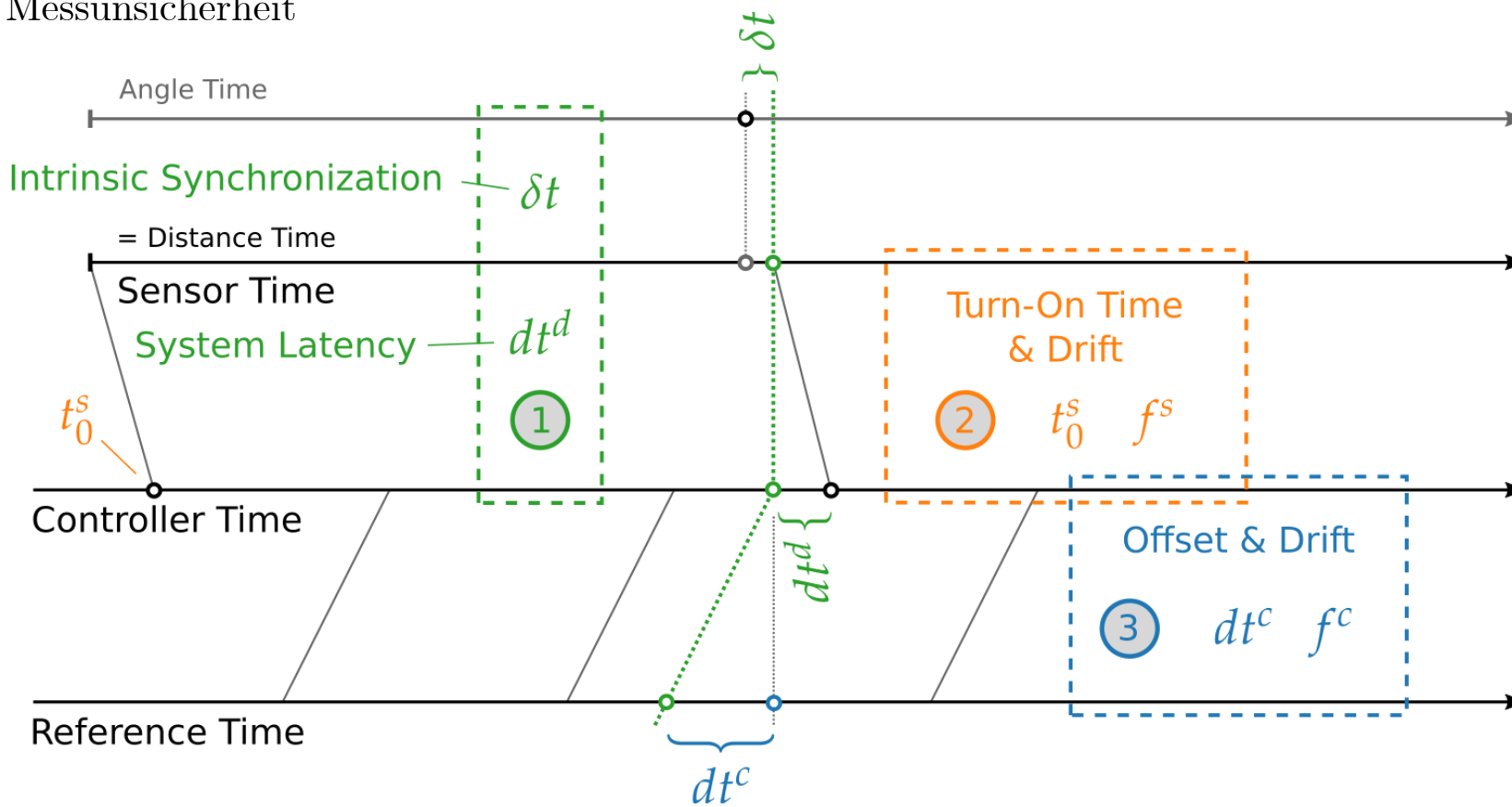
10 m/s – 100 µs



2.5 m/s – 400 µs

Ansatz Synchronisation

- Synchronisation
 - Kalibrierung eines Sensors der die Zeit misst
 - Messunsicherheit



Zeitliche
Kalibrierung

Sensorboard
Synchronisation

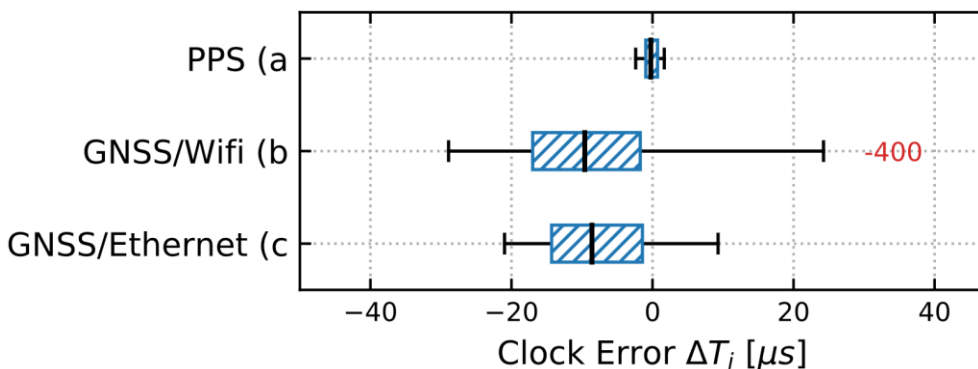
Controller
Synchronisation

Network Time Protocol

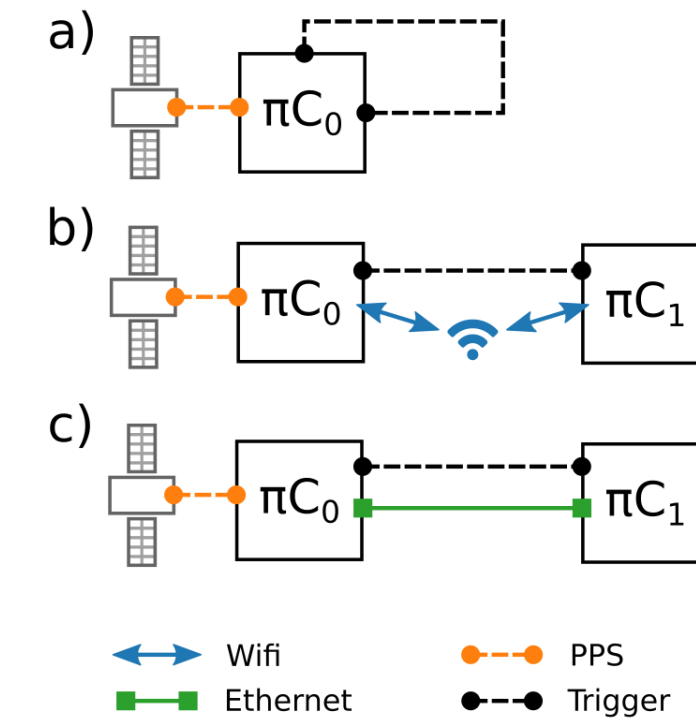
Evaluierung Zeitdomäne

Controller Synchronization

- Verschiedene Konfigurationen möglich
 - 72h Experiment



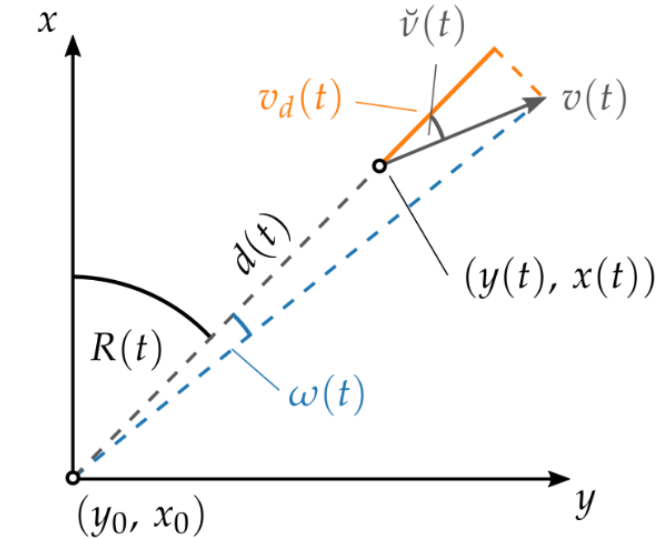
Setup	MAE [μs]	Sigma [μs]
a) GNSS/PPS	1.01	0.87
b) Wifi	406.92	24.01
c) Ethernet	10.44	7.20



Kinematisches Polarpunktmodell

- Kinematisches Polarpunktmodell
 - Stochastische Modellierung der Zeitmessung

$$\begin{aligned}x(t_j) &= x_0 + [D(t_d) + v_d(t_d) \delta t^d] \\&\quad \cos [R(t_a) + \omega(t_a) (\delta t^d + \delta t^a)] \\y(t_j) &= y_0 + [D(t_d) + v_d(t_d) \delta t^d] \\&\quad \sin [R(t_a) + \omega(t_a) (\delta t^d + \delta t^a)]\end{aligned}$$



- Schätzung im Objektraum mit Hilfe eines Industrieroboters als Referenz



Zeitliche Kalibrierung

Voraussetzungen

Temporal Calibration

Accuracy of Reference Sensor

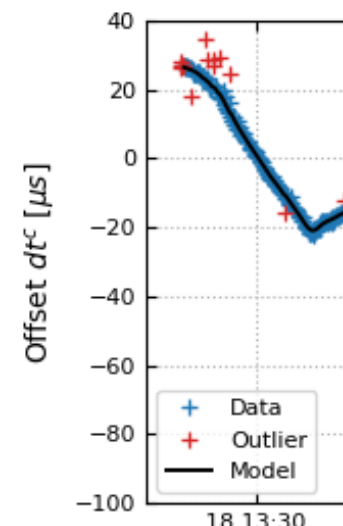
- Using Las

Speed

2,4 m/s

1,8 m/s

Common Time Frame



Common Coordinate Frame

- Transformation Parameters and Prism mounting vector

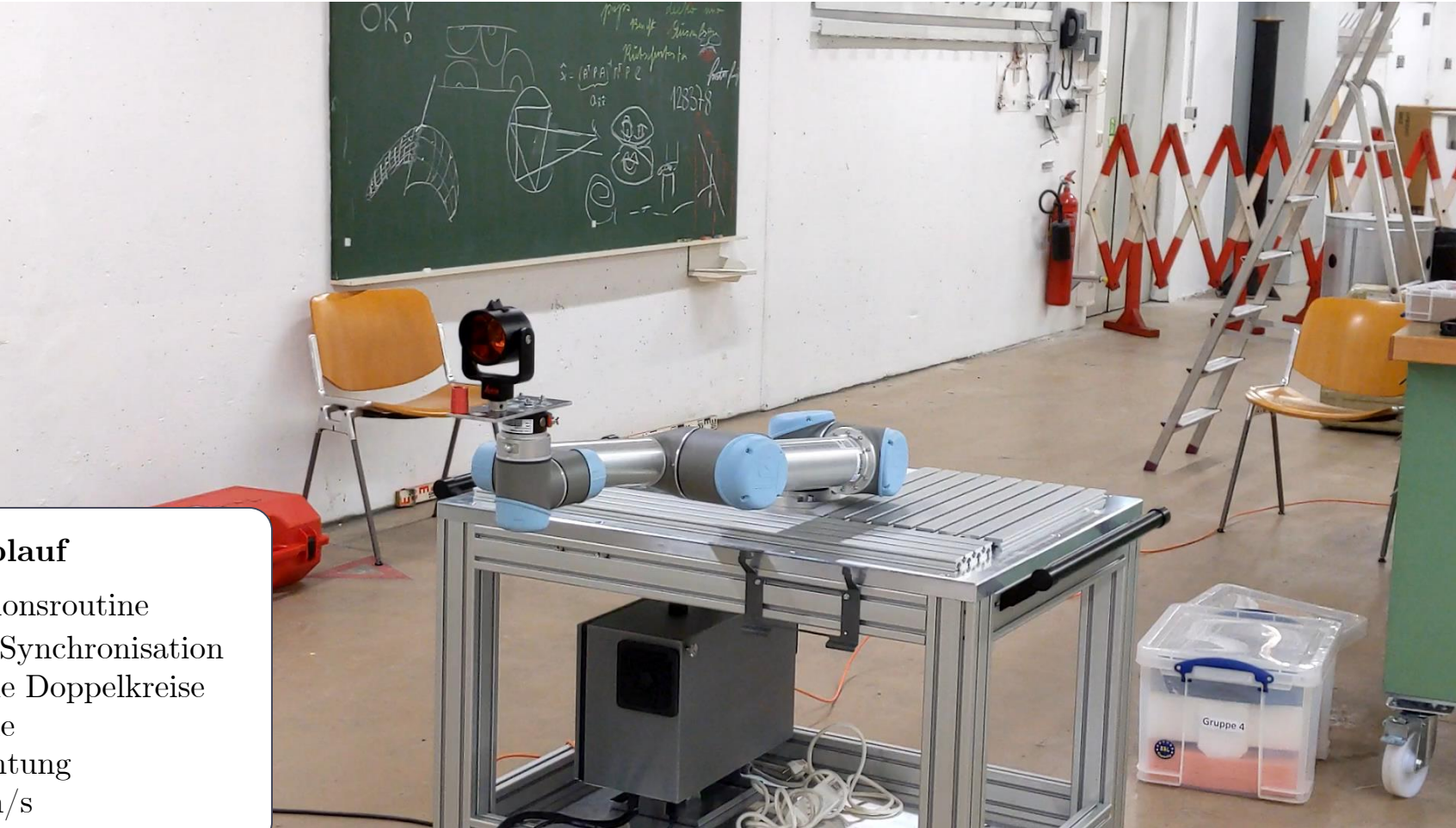
Parameter	σ
Rotation	5 mgon
Translation	0.1 mm
Mounting	0.07 mm

$$t_{pr}^{rt} = R_{ur}^{rt} \left(t_{ee}^{ur} + R_{ee}^{ur} t_{pr}^{ee} \right) + t_{ur}^{rt}$$

Zeitliche Kalibrierung

Ablauf

Temporal Calibration



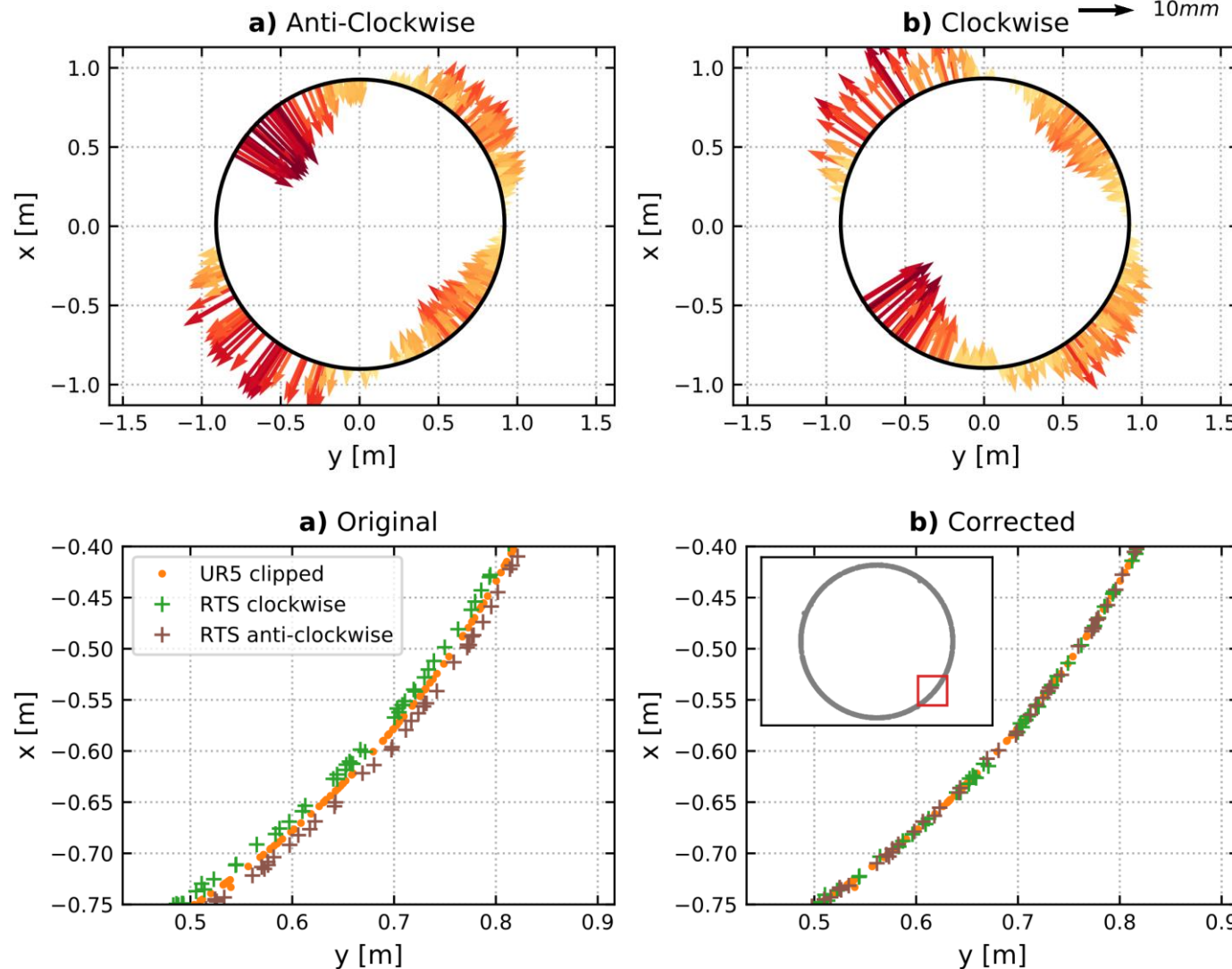
Zeitliche Kalibrierung

Ergebnisse

Instrument	Firmware	[ms]	σ_{dt^d} [ms]	δt [ms]	$\sigma_{\delta t}$ [ms]
Leica TS16 “Luigi”	3.10	67.397	0.082	4.123	0.084
<i>+2 days</i>		67.717	0.076	4.462	0.078
<i>+9 days</i>		68.031	0.060	4.203	0.064
Leica TS16 “Gian”	2.30	64.934	0.058	7.661	0.062
<i>+2 days</i>		65.769	0.098	7.118	0.101
<i>+9 days</i>		64.959	0.080	7.494	0.083

Zeitliche Kalibrierung Intrinsische Synchronisation

Correction
& Comparison
with Reference

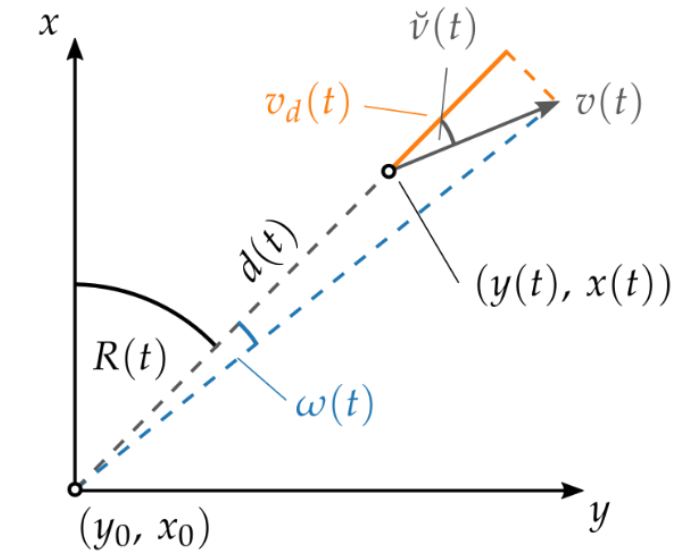
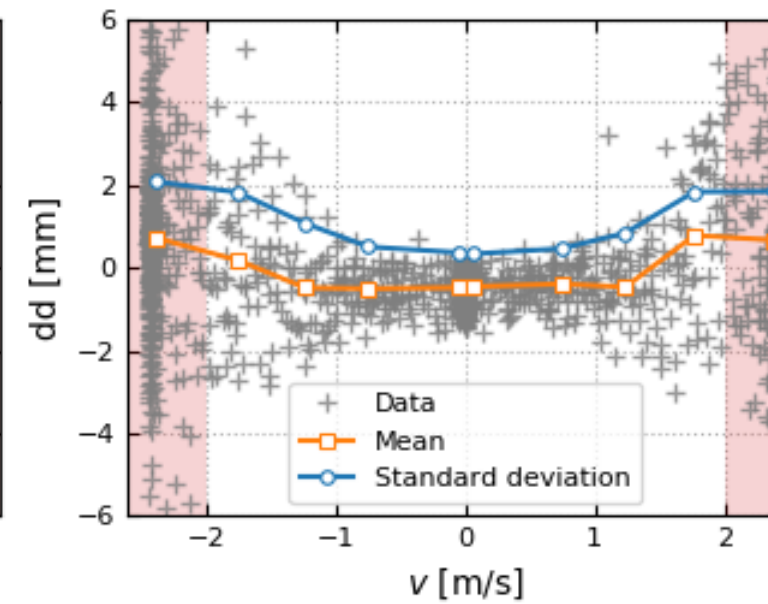
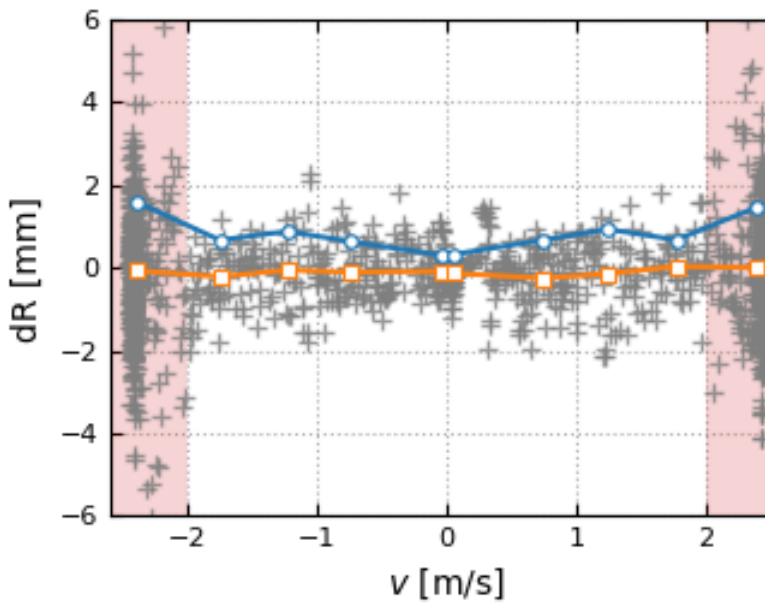


Zeitliche Kalibrierung (Vorläufige) Ergebnisse II

Instrument	Firmware	[ms]	σ_{dt^d} [ms]	δt [ms]	$\sigma_{\delta t}$ [ms]
Leica MS60 (L)	7.03	46.784	0.05	-0.153	0.05
$12^\circ C$	7.5	62.109	0.05	0.668	0.05
$40^\circ C$	7.5	63.622	0.05	0.848	0.05
<i>(Labor)</i>	7.5	63.637	0.05	0.662	0.06

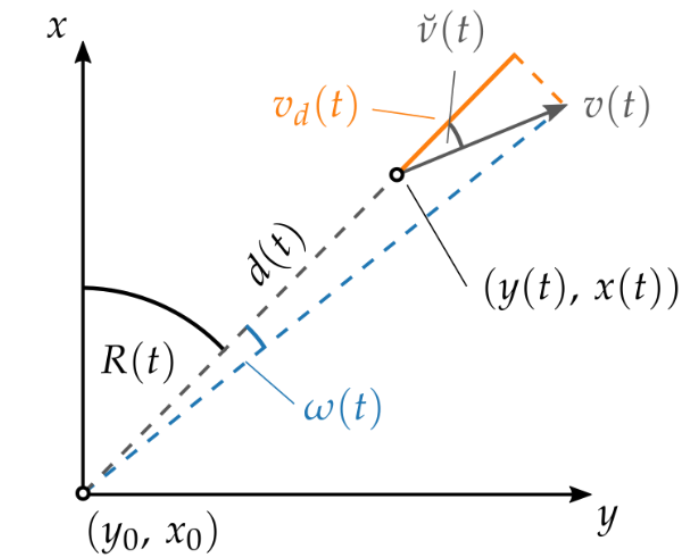
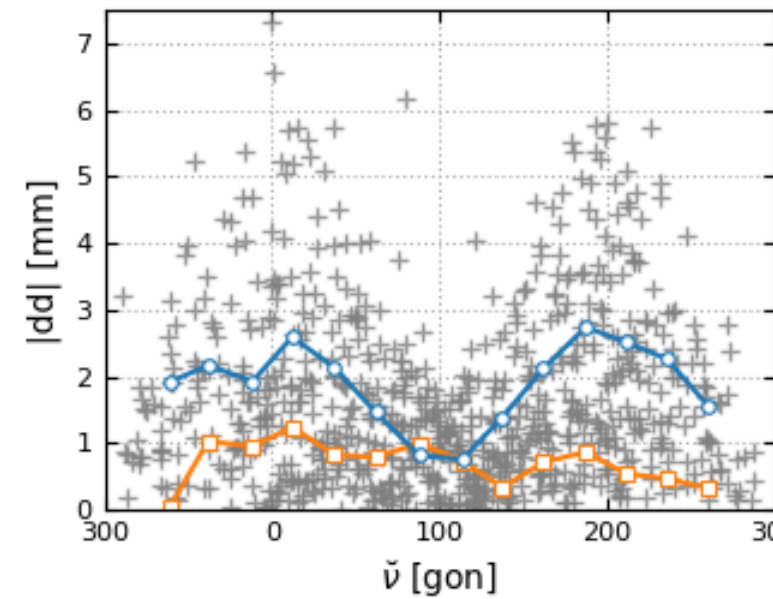
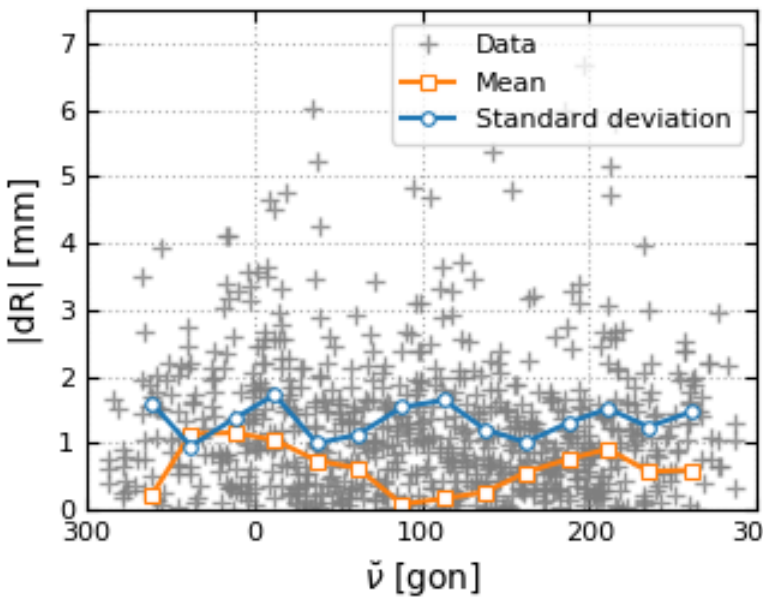
Kinematische Stochastik (I)

- Abhängigkeit Geschwindigkeit
 - Beitrag der Messunsicherheit der Zeitmessung

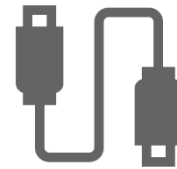


Kinematische Stochastik (II)

- Abhängigkeit Bewegungsrichtung
- Klassisches Modell zur Messunsicherheit nicht repräsentativ



Zusammenfassung



Proof of Concept einer
drahtlosen
Synchronisation über NTP



Kinematisches
Polarpunktmodell und
Zeitliche Kalibrierung von
RTS



Synchronisation
unabhängig von
Messdaten oder Maneuver

Ausblick & Vision

- Verbesserung des kinematischen stochastischen Modells
 - Modellierung und höhere Geschwindigkeiten
- 360° Prisma Untersuchungen & Korrektur
- Trigger Input und Output von RTS zur Synchronisation
- Geschwindigkeitsableitung aus EDM
- Ausgabe Winkelgeschwindigkeit
- 6DoF Posenschätzung mit IMU und...

Veröffentlichungen

- Thalmann, T., & Neuner, H. (2016). In-Field Calibrated Odometry for Skid-Steered Mobile Robots. *Proceedings of 5th International Conference on Machine Control & Guidance*.
- Thalmann, T. (2017). Kalibrierung von fahrbaren Robotern als Multi-Sensor-Systeme. In *Leica Tour 2017*.
- Thalmann, T., & Neuner, H. (2018). Tri-Axial Accelerometer Calibration for Leveling. In *GeoPreVi 2018 - Geodesy for Smart Cities* (Vol. 9, pp. 29–36).
- Thalmann, T., & Neuner, H. (2018). Evaluation of the Network Time Protocol for Synchronization of Multi-Sensor-Systems. *Avn - Allgemeine Vermessungsnachrichten*, 125(6), 163–174.
- **Thalmann, T., & Neuner, H. (2021). Temporal Calibration and Synchronization of Robotic Total Stations for Kinematic Multi-Sensor-Systems. *Journal of Applied Geodesy*, Vol. 15(1), 13-30**



TECHNISCHE
UNIVERSITÄT
WIEN
Vienna | Austria

Vielen Dank

Tomas Thalmann

tomas.thalmann@tuwien.ac.at | tomas@vermessung-thalmann.at

Forschungsgruppe Ingenieurgeodäsie, TU Wien

13. Geomessdiskurs | DVW Seminar | Jena | 29.06.2023